

การเตรียมและศึกษาลักษณะเฉพาะของพิล์มบางๆ ในเทเนียม ได้ออกใช้ด้วย  
โครงสร้าง nano สำหรับม่าเชื้อแบคทีเรีย โดยการฉายแสง



วิทยานิพนธ์นี้เป็นส่วนหนึ่งของการศึกษาตามหลักสูตรวิทยาศาสตร์มหาบัณฑิต

สาขาวิชาฟิสิกส์

คณะวิทยาศาสตร์ มหาวิทยาลัยบูรพา

เมษายน 2556

ลิขสิทธิ์เป็นของมหาวิทยาลัยบูรพา

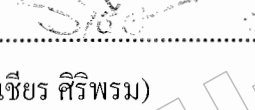
คณะกรรมการควบคุมวิทยานิพนธ์และคณะกรรมการสอบบัณฑิตวิทยานิพนธ์ได้พิจารณา  
วิทยานิพนธ์ของ คลลักษณ์ นานพ ฉบับนี้แล้ว เห็นสมควรรับเป็นส่วนหนึ่งของการศึกษาตาม  
หลักสูตรวิทยาศาสตรมหาบัณฑิต สาขาวิชาฟิสิกส์ ของมหาวิทยาลัยบูรพาได้

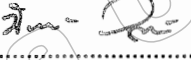
คณะกรรมการควบคุมวิทยานิพนธ์

.....  
  
อาจารย์ที่ปรึกษาหลัก  
(ผู้ช่วยศาสตราจารย์ ดร.นิรันดร์ วิธิตอนนนต์)

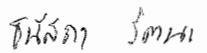
.....  
  
อาจารย์ที่ปรึกษาร่วม  
(ดร.อดิศร บูรณวงศ์)

คณะกรรมการสอบบัณฑิตวิทยานิพนธ์

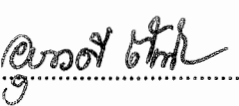
.....  
  
ประธาน  
(ดร.วีเชียร์ ศรีพรอม)

.....  
  
กรรมการ  
(ผู้ช่วยศาสตราจารย์ ดร.นิรันดร์ วิธิตอนนนต์)

.....  
  
กรรมการ  
(ดร.อดิศร บูรณวงศ์)

.....  
  
กรรมการ  
(ดร.นันดา รัตนะ)

คณะกรรมการศาสตร์อนุมัติให้รับวิทยานิพนธ์ฉบับนี้เป็นส่วนหนึ่งของการศึกษา  
ตามหลักสูตรวิทยาศาสตรมหาบัณฑิต สาขาวิชาฟิสิกส์ ของมหาวิทยาลัยบูรพา

.....  
  
คณะกรรมการวิทยาศาสตร์  
(ผู้ช่วยศาสตราจารย์ ดร.อุมาวดี ตันติวราณุรักษ์)  
วันที่ 11 เดือน มกราคม พ.ศ. 2556

ทุนผู้ช่วยวิจัยจากศูนย์ความเป็นเลิศด้านพิสิกส์

สำนักพัฒนาบัณฑิตศึกษาและวิจัยด้านวิทยาศาสตร์และเทคโนโลยี (สบว.)

สำนักงานคณะกรรมการอุดมศึกษา (สกอ.) กระทรวงศึกษาธิการ (ศธ.)

53910203: สาขาวิชา: ฟิสิกส์; วท.ม. (ฟิสิกส์)

คำสำคัญ: พลัมบง/ ไทยเนี่ยม ไดออกไซด์/ รีแอคตีฟ ดิซี แมกนีตรอน สปีดเตอริง/  
การผ่าเชือเบคทีเรียโดยการฉายแสง

ผลลักษณ์ นานพ: การเตรียมและศึกษาลักษณะเฉพาะของฟลัมบง/ ไทยเนี่ยม  
ไดออกไซด์ โครงสร้าง nano สำหรับผ่าเชือเบคทีเรียโดยการฉายแสง (PREPARATION AND  
CHARACTERIZATION OF NANO-STRUCTURE TITANIUM DIOXIDE THIN FILMS FOR  
BACTERIAL PHOTOKILLING) คณะกรรมการควบคุมวิทยานิพนธ์: นิรันดร์ วิทิตอนันต์, Ph.D.,  
อดีศร บูรณะวงศ์, Ph.D. 135 หน้า. ปี พ.ศ. 2556.

พลัมบง/ ไทยเนี่ยม ไดออกไซด์ ( $TiO_2$ ) เคลือบบนกระดาษไอล์ด์ และแผ่นซิลิโคนด้วย  
วิธีรีแอคตีฟดิซีอันบาลานซ์แมกนีตรอนสปีดเตอริง เพื่อศึกษาผลของระยะห่างของวัสดุองรับ  
กับเป้าสารเคลื่อน และอัตราไฟลแก๊สออกซิเจน ต่อ โครงสร้าง ลักษณะพื้นผิวและความหนาฟลัม  
สำหรับโครงสร้างพลีกศึกษาด้วยเทคนิค XRD ลักษณะพื้นผิวและความหนาศึกษาด้วยเทคนิค AFM  
รวมถึงศึกษาความสามารถในการผ่าเชือเบคทีเรียของฟลัมบง/ ไทยเนี่ยม ไดออกไซด์ที่เคลื่อนได  
เมื่ออยู่รับแสงยูวี ผลการศึกษาสำหรับกรณีประค่าระยะห่างของวัสดุองรับกับเป้าสารเคลื่อน  
พบว่า เพศของฟลัมที่เคลื่อนไดเปลี่ยนจาก รูไกล์เป็นอนแทส และอัตโนมัติ เมื่อระยะห่างของวัสดุ  
องรับกับเป้าสารเคลื่อนเพิ่มขึ้น ขณะที่ความหนาฟลัมลดจาก 220 nm เป็น 63 nm ความหมายผิว  
ลดจาก 3.3 nm เป็น 1.8 nm เมื่อระยะห่างของวัสดุองรับกับเป้าสารเคลื่อนเพิ่มขึ้น สำหรับกรณี  
ประค่าอัตราไฟลแก๊สออกซิเจนพบว่า เพศของฟลัมเปลี่ยนจาก รูไกล์เป็นแพสสมของ อนแทส/  
รูไกล์ และอนแทส เมื่ออัตราไฟลแก๊สออกซิเจนเพิ่มขึ้น ความหนาฟลัมลดลงจาก 171 nm เป็น  
136 nm ส่วนความหมายผิวเพิ่มขึ้นจาก 2.0 nm เป็น 5.4 nm ฟลัมบง/ ไทยเนี่ยม ไดออกไซด์  
ที่เคลื่อนไดในงานวิจัยนี้ สามารถผ่าเชือเบคทีเรียเมื่อสัมผัสแสงยูวีได

53910203: MAJOR: PHYSICS; M.Sc. (PHYSICS)

KEYWORDS: THIN FILM/ TITANIUM DIOXIDE/ REACTIVE DC MAGNETRON SPUTTERING/ BACTERIAL PHOTOKILLING

DHONLUCK MANOP: PREPARATION AND CHARACTERIZATION OF NANOSTRUCTURE TITANIUM DIOXIDE THIN FILMS FOR BACTERIAL PHOTOKILLING.

ADVISORY COMMITTEE: NIRUN WITIT-ANUN, Ph. D., ADISORN BURANAWONG, Ph.D. 135 P. 2013.

Titanium dioxide ( $\text{TiO}_2$ ) thin films were deposited on glass slides and silicon wafer by reactive DC unbalanced magnetron sputtering method to study the effect of the substrate-target distance and the oxygen gas flow rate on the structure, surface morphology and film's thickness. The crystal structure was characterized by XRD technique, surface morphology and film's thickness was analyzed by AFM technique. The disinfection ability of the as-deposited titanium dioxide thin films after exposed to the UV light was investigated. The results showed that, in case of vary the substrate-target distance, phase of the as-deposited films change from rutile to anatase and amorphous when the substrate-target distance was increased. The film thickness decrease form 220 nm to 63 nm, while the roughness increase form 3.3 nm to 1.8 nm with increasing of the substrate-target distance. In case of vary the oxygen gas flow rate it found that, all the as-deposited films change from rutile to mixed phase of anatase/rutile and anatase as the oxygen gas flow rate increased. The film thickness decrease form 171 nm to 136 nm, while the roughness increase form 2.0 nm to 5.4 nm with increasing of the oxygen gas flow rate. The as-deposited titanium dioxide thin film can kill the bacteria when expose to the UV light.

## สารบัญ

|   | หน้า     |
|---|----------|
| บทคัดย่อภาษาไทย .....                               | ๑        |
| บทคัดย่อภาษาอังกฤษ .....                            | ๑        |
| สารบัญ .....  | ๗        |
| สารบัญตาราง .....                                   | ๘        |
| สารบัญภาพ .....                                     | ๙        |
| <b>บทที่</b>  |          |
| <b>1 บทนำ .....</b>                                 | <b>1</b> |
| ความเป็นมาและความสำคัญของปัจจุบัน .....             | 1        |
| วัตถุประสงค์ของการวิจัย .....                       | 5        |
| ประโยชน์ที่คาดว่าจะได้รับจากการวิจัย .....          | 6        |
| ขอบเขตของการวิจัย .....                             | 6        |
| <b>2 เอกสารและงานวิจัยที่เกี่ยวข้อง .....</b>       | <b>7</b> |
| กระบวนการเคลือบฟิล์มบาง .....                       | 7        |
| การก่อเกิดฟิล์มบาง .....                            | 8        |
| การเคลือบฟิล์มบางด้วยวิธีสปีตเตอริง .....           | 10       |
| กระบวนการ โกลัวดิสชาร์จ .....                       | 18       |
| ระบบเคลือบแบบ ดีซี สปีตเตอริง .....                 | 22       |
| ระบบเคลือบแบบ ดีซี เมกนีตรอน สปีตเตอริง .....       | 24       |
| ระบบเคลือบแบบ อันบาลานซ์ เมกนีตรอน สปีตเตอริง ..... | 29       |
| การเคลือบฟิล์มบางด้วยวิธี รีแอคติฟ สปีตเตอริง ..... | 32       |
| การทำลาย nanoparticle ของฟิล์มบาง .....             | 34       |
| ไทดเนียม ไคอออกไซด์ .....                           | 43       |
| เชื้อ <i>Escherichia coli</i> .....                 | 47       |
| กระบวนการ โพโตකตะไดซิส .....                        | 48       |
| งานวิจัยที่เกี่ยวข้อง .....                         | 49       |

## สารบัญ (ต่อ)

| บทที่   | หน้า |
|---|------|
| 3 วิธีดำเนินการวิจัย .....  | 51   |
| กรอบแนวคิดของงานวิจัย .....   | 51   |
| เครื่องมือและวัสดุที่ใช้ในการทดลอง .....                                    | 53   |
| เครื่องเคลือบฟิล์มบางระบบ รีแอคติฟ ดีซี สปีดเตอริง .....                    | 59   |
| การสร้างสภาพสูญญากาศ .....  | 60   |
| การเตรียมวัสดุรองรับสำหรับการเคลือบฟิล์ม .....                              | 63   |
| การเคลือบฟิล์มบาง ไทเทเนียม ไดออกไซด์ .....                                 | 64   |
| การศึกษาลักษณะเฉพาะของฟิล์มน้ำ ไทเทเนียม ไดออกไซด์ .....                    | 66   |
| การศึกษาการฆ่าเชื้อ <i>E. coli</i> ของฟิล์มบาง ไทเทเนียม ไดออกไซด์ .....    | 67   |
| แนวทางการทดลอง .....  | 71   |
| 1. การศึกษาผลของระยะห่างระหว่างเป้าสารเคลือบกับวัสดุรองรับ .....            | 71   |
| 2. การศึกษาผลของอัตราไหลแก๊สออกซิเจน .....                                  | 72   |
| 3. การศึกษาการฆ่าเชื้อ <i>E. coli</i> ของฟิล์มบาง ไทเทเนียม ไดออกไซด์ ..... | 73   |
| 4 ผลการวิจัย .....  | 74   |
| ผลของระยะห่างระหว่างเป้าสารเคลือบกับวัสดุรองรับ .....                       | 74   |
| ผลของอัตราไหลแก๊สออกซิเจน .....   | 82   |
| ผลทดสอบการฆ่าเชื้อ <i>E. coli</i> ของฟิล์มบาง ไทเทเนียม ไดออกไซด์ .....     | 88   |
| 5 อภิปรายและสรุปผล .....  | 100  |
| อภิปราย .....   | 100  |
| สรุปผลการทดลอง .....  | 107  |
| บรรณานุกรม .....  | 108  |
| ภาคผนวก .....   | 113  |
| ภาคผนวก ก .....   | 114  |
| ภาคผนวก ข .....   | 124  |
| ประวัติย่อของผู้วิจัย .....   | 135  |

## สารบัญตาราง

| ตารางที่   | หน้า |
|--|------|
| 2-1 พลังงานขีดเริ่มของเป้าสารเคลือบชนิดต่าง ๆ .....  | 15   |
| 2-2 ข้อมูลการเดี่ยวบนรังสีเอกซ์ของผลึกไทยเนียม ไดออกไซด์เฟสโอนาเทส .....   | 45   |
| 2-3 ข้อมูลการเดี่ยวบนรังสีเอกซ์ของผลึกไทยเนียม ไดออกไซด์เฟสฟูไทด์ .....  | 46   |
| 3-1 เงื่อนไขการเคลือบฟิล์มบางไทยเนียม ไดออกไซด์ที่ระยะห่างระหว่างเป้าสารเคลือบกับวัสดุรองรับต่าง ๆ .....                                     | 72   |
| 3-2 เงื่อนไขการเคลือบฟิล์มบางไทยเนียม ไดออกไซด์ที่อัตราไหลแก๊สออกซิเจนต่าง ๆ .....   | 73   |
| 3-3 เงื่อนไขการเคลือบฟิล์มบางไทยเนียม ไดออกไซด์สำหรับการทดสอบความสามารถในการฆ่าเชื้อ <i>E. coli</i> .....                                    | 74   |
| 4-1 ค่าคงที่แอลทิชของฟิล์มบางไทยเนียม ไดออกไซด์เมื่อเคลือบด้วยระยะห่างระหว่างเป้าสารเคลือบกับวัสดุรองรับต่าง ๆ .....                         | 77   |
| 4-2 ขนาดผลึกของฟิล์มบางไทยเนียม ไดออกไซด์เมื่อเคลือบด้วยระยะห่างระหว่างเป้าสารเคลือบกับวัสดุรองรับต่าง ๆ .....                               | 78   |
| 4-3 ความหนาและความหมายผิวของฟิล์มบางไทยเนียม ไดออกไซด์เมื่อเคลือบด้วยระยะห่างระหว่างเป้าสารเคลือบกับวัสดุรองรับต่าง ๆ .....                  | 81   |
| 4-4 ค่าคงที่แอลทิชของฟิล์มบางไทยเนียม ไดออกไซด์เมื่อเคลือบด้วยอัตราไหลแก๊สออกซิเจนต่าง ๆ .....   | 85   |
| 4-5 ขนาดผลึกของฟิล์มบางไทยเนียม ไดออกไซด์เมื่อเคลือบด้วยอัตราไหลแก๊สออกซิเจนต่าง ๆ .....   | 86   |
| 4-6 ความหนาและความหมายผิวของฟิล์มบางไทยเนียม ไดออกไซด์เมื่อเคลือบด้วยอัตราไหลแก๊สออกซิเจนต่าง ๆ .....  | 86   |
| 4-7 จำนวนโคโลนีของเชื้อ <i>E. coli</i> บนกระจกไม่เคลือบและเคลือบฟิล์มบางไทยเนียม ไดออกไซด์เมื่อไม่ฉายรับแสงอัลตราไวโอเลต ที่เวลาต่าง ๆ ..... | 88   |
| 4-8 จำนวนโคโลนีของเชื้อ <i>E. coli</i> บนกระจกไม่เคลือบและเคลือบฟิล์มบางไทยเนียม ไดออกไซด์เมื่อฉายรับแสงอัลตราไวโอเลต ที่เวลาต่าง ๆ .....    | 91   |

## สารบัญตาราง (ต่อ)

| ตารางที่  | หน้า |
|---|------|
| 4-9 จำนวนโคลนีของเชื้อ <i>E. coli</i> บนกระจกไม่เคลือบและเคลือบฟิล์มบาง<br>ไทเทเนียมไดออกไซด์เมื่อไม่ขยับแสงอัลตราไวโอเลต ที่เวลาต่าง ๆ ..... | 94   |
| 4-10 จำนวนโคลนีของเชื้อ <i>E. coli</i> บนกระจกไม่เคลือบและเคลือบฟิล์มบาง<br>ไทเทเนียมไดออกไซด์เมื่อขยับแสงอัลตราไวโอเลต ที่เวลาต่าง ๆ .....   | 97   |
| ก-1 การคำนวณค่าคงที่แล็ตทิซ (Lattice Constants)<br>และขนาดผลึก (Crystallite Size).....  | 116  |

## สารบัญภาพ

| ภาพที่  | หน้า |
|---|------|
| 2-1 การก่อเกิดฟิล์มบาง .....  | 9    |
| 2-2 อันตรกิริยาระหว่าง ไอออนกับพื้นผิวสัมผัสดู .....  | 11   |
| 2-3 ลักษณะของเครื่องเคลือบสุญญากาศด้วยวิธีสปีตเตอริง.....   | 13   |
| 2-4 ยีลเด็ของทองแดงที่ถูกชนด้วยไอออนจากแก๊สอาร์กอนที่พลังงานต่างๆ .....   | 15   |
| 2-5 การเปลี่ยนแปลงค่า yielde ของเป้าทองแดง (Cu), เงิน (Ag) และเทนทาลัม (Ta)<br>เมื่อใช้ไอออนพลังงาน 45 keV จากธาตุที่มีเลขอะตอมค่าต่างๆ .....   | 17   |
| 2-6 การเปลี่ยนแปลงของยีลเด็ เมื่อใช้ไอออนของปรอทพลังงาน 200 eV<br>ชน เปานิกาล (Ni), โมลิบดินัม (Mo), หังสเทน (W) และทองคำขาว (Pt)<br>ที่มุนการตกลงระหบค่าต่างๆ (วัดเทียบกับแนวโน้มดึงฉากบนเป้า) .....                             | 17   |
| 2-7 ความสัมพันธ์ของความหนาแน่นกระแสและแรงดันไฟฟ้าระหว่างข้ออ้างเล็ก โตรด<br>ของกระบวนการเกิด ดีซี โกลว์ดิสชาร์จ ในหลอดสุญญากาศบรรจุแก๊ส惰性 ออกซิเจน .....  | 19   |
| 2-8 ความสัมพันธ์ระหว่างแรงดันไฟฟ้าหลายและผลคูณระหว่างความดัน ( $P$ )<br>และระยะระหว่างอิเล็กโตรด ( $d$ ) .....  | 20   |
| 2-9 โกลว์ดิสชาร์จของหลอดนีออนยาว 50 cm ที่ความดัน 1.33 mbar .....   | 20   |
| 2-10 ระบบสปีตเตอริงแบบดีซี สปีตเตอริง .....   | 23   |
| 2-11 ผลของความดันในระบบที่มีผลต่ออัตราเคลือบ ค่า yielde และกระแสไฟฟ้าใน<br>ระบบสปีตเตอริงของนิกาลที่ใช้แรงดันไฟฟ้า 3,000 V ระหว่างข้ออ้างเล็กโตรด<br>ที่วางห่างกัน 4.5 cm .....   | 23   |
| 2-12 การเคลื่อนที่ของอนุภาคอิเล็กตรอนในสนามแม่เหล็ก .....   | 25   |
| 2-13 การเคลื่อนที่ของอนุภาคในสนามต่างๆ โดยที่ $a$ , $b$ , $c$ เป็นการเคลื่อนที่ของ<br>อนุภาคประจุในสนามแม่เหล็กอย่างเดียวส่วน $d$ และ $e$ เป็นการเคลื่อนที่ของ<br>อนุภาคประจุในสนามแม่เหล็กและสนามไฟฟ้าร่วมกันในลักษณะต่างๆ ..... | 26   |
| 2-14 การจัดสนามแม่เหล็กและแนวการกัดกร่อนของเป้าสารเคลือบในระบบพลาวร์<br>แมกนีตอ่อน สปีตเตอริง .....   | 28   |
| 2-15 ลักษณะเส้นแรงแม่เหล็กของระบบอันบาลานซ์ แมกนีตอ่อน สปีตเตอริง .....   | 30   |
| 2-16 ลักษณะพลาสม่าของระบบสปีตเตอริง .....   | 31   |

## สารบัญภาพ (ต่อ)

| ภาพที่  | หน้า |
|---|------|
| 2-17 การเกิดปฏิกิริยารวมตัวกันเป็นสารประกอบระหว่างแก๊สไวปฏิกิริยา กับอะตอม เป้าสารเคลื่อนในบริเวณต่าง ๆ ..... | 32   |
| 2-18 การส่งผ่านแสงและการสะท้อน.....   | 35   |
| 2-19 ความเข้มของพีคที่แสดงถึงรูปแบบผลึกของวัสดุในตำแหน่งที่มีการสะท้อนรังสี....                               | 37   |
| 2-20 องค์ประกอบหลักของเครื่องมือ Scanning Probe Microscope .....  | 38   |
| 2-21 ลักษณะของแรงกระทำระหว่างอะตอมที่เกิดขึ้นในระยะห่างระหว่างวัตถุต่าง ๆ ...                                 | 39   |
| 2-22 เครื่อง AFM แบบ Multimode .....  | 40   |
| 2-23 ลักษณะการสั่นของงานที่มีเงื่อนดิต.....   | 41   |
| 2-24 เพสของไทด์เนียมไดออกไซด์ .....   | 44   |
| 2-25 Enterobacteriaceas Family ของเชื้อ <i>E. coli</i> .....  | 47   |
| 2-26 การเกิดคู่อิเล็กตรอน-ไฮดของกระบวนการไฟโตකไลซิส .....   | 48   |
| 3-1 กรอบแนวความคิดของการวิจัย .....   | 52   |
| 3-2 เครื่องเคลื่อนสัญญาการระบบบริแอคติฟ ดีซี เมมคนตอรอน สปีดเตอริง ที่ใช้งานวิจัย.....                        | 55   |
| 3-3 เครื่อง X-Ray Diffractrometer (XRD) .....   | 55   |
| 3-4 เครื่อง Atomic Force Microscope (AFM).....  | 56   |
| 3-5 ตู้ปลอดเชื้อ .....  | 56   |
| 3-6 เครื่องหมุนเหวี่ยงแบบควบคุมอุณหภูมิ .....   | 57   |
| 3-7 เครื่องขยายแนวรากแบบวงกลม .....   | 57   |
| 3-8 อุปกรณ์และเครื่องแก้วที่ใช้ในการทดลอง .....   | 58   |
| 3-9 แบคทีเรีย <i>Escherichia coli</i> ATCC 25922 .....  | 58   |
| 3-10 ไ/doะแกรมของเครื่องเคลื่อน .....   | 60   |
| 3-11 ไ/doะแกรมระบบเครื่องสูบสัญญาคของระบบเครื่องเคลื่อน .....   | 62   |
| 3-12 การล้างวัสดุรองรับ .....   | 63   |
| 3-13 การเคลื่อนฟลัมบงไทด์เนียมไดออกไซด์.....  | 65   |
| 3-14 ขั้นตอนการเตรียมเชื้อ <i>E. coli</i> .....   | 68   |

## สารบัญภาพ (ต่อ)

| ภาพที่   | หน้า |
|--|------|
| 3-15 ขั้นตอนการทดสอบการฆ่าเชื้อ <i>E. coli</i> .....   | 70   |
| 4-1 ลักษณะของฟิล์มบางไทเทเนียม ไดออกไซด์ที่เคลือบบนกระจกสีไลด์ เมื่อเคลือบด้วยระยะเวลาห่างระหว่างที่เป้าสารเคลือบกับวัสดุรองรับต่าง ๆ .....                                | 74   |
| 4-2 รูปแบบการเลี้ยวเบนของรังสีเอกซ์ของฟิล์มบางไทเทเนียม ไดออกไซด์ เมื่อเคลือบด้วยระยะเวลาห่างระหว่างที่เป้าสารเคลือบกับวัสดุรองรับต่าง ๆ .....                             | 75   |
| 4-3 ลักษณะพื้นผิวแบบ 2 มิติ และ 3 มิติ ของฟิล์มบางไทเทเนียม ไดออกไซด์ เมื่อเคลือบด้วยระยะเวลาห่างระหว่างที่เป้าสารเคลือบกับวัสดุรองรับต่าง ๆ วิเคราะห์ด้วยเทคนิค AFM ..... | 78   |
| 4-4 ความหนาของฟิล์มบางไทเทเนียม ไดออกไซด์ เมื่อเคลือบด้วยระยะเวลาห่างระหว่างที่เป้าสารเคลือบกับวัสดุรองรับต่าง ๆ .....   | 80   |
| 4-5 ความหมายพิwaของฟิล์มบางไทเทเนียม ไดออกไซด์ เมื่อเคลือบด้วยระยะเวลาห่างระหว่างที่เป้าสารเคลือบกับวัสดุรองรับต่าง ๆ .....  | 81   |
| 4-6 ลักษณะของฟิล์มบางไทเทเนียม ไดออกไซด์ที่เคลือบบนกระจกสีไลด์ เมื่อเคลือบด้วยอัตราไหลแก๊สออกซิเจนต่าง ๆ .....   | 82   |
| 4-7 รูปแบบการเลี้ยวเบนของรังสีเอกซ์ของฟิล์มบางไทเทเนียม ไดออกไซด์ เมื่อเคลือบด้วยอัตราไหลแก๊สออกซิเจนต่าง ๆ .....  | 83   |
| 4-8 ลักษณะพื้นผิวแบบ 2 มิติ และ 3 มิติ ของฟิล์มบางไทเทเนียม ไดออกไซด์ เมื่อเคลือบด้วยอัตราไหลแก๊สออกซิเจนต่าง ๆ วิเคราะห์ด้วยเทคนิค AFM .....                              | 86   |
| 4-9 ความหนาของฟิล์มบางไทเทเนียม ไดออกไซด์ เมื่อเคลือบด้วยอัตราไหลแก๊สออกซิเจนต่าง ๆ .....  | 87   |
| 4-10 ความหมายพิwaของฟิล์มบางไทเทเนียม ไดออกไซด์ เมื่อเคลือบด้วยอัตราไหลแก๊สออกซิเจนต่าง ๆ .....  | 87   |
| 4-11 อัตราการลดตายของเชื้อ <i>E. coli</i> บนกระจกไม่เคลือบและเคลือบฟิล์มบางไทเทเนียม ไดออกไซด์เมื่อไม่加以รับแสงอัลตราไวโอเลต ที่เวลาต่าง ๆ .....                            | 89   |
| 4-12 ลักษณะของเชื้อ <i>E. coli</i> บนกระจกไม่เคลือบและเคลือบฟิล์มบางไทเทเนียม ไดออกไซด์เมื่อไม่加以รับแสงอัลตราไวโอเลต ที่เวลาต่าง ๆ .....                                   | 90   |

## สารบัญภาพ (ต่อ)

| ภาพที่  | หน้า |
|---|------|
| 4-13 อัตราการรอดตายของเชื้อ <i>E. coli</i> บนกระจุกไม่เคลือบและเคลือบฟิล์มบาง<br>ไทเทนเนียม ไดออกไซด์เมื่อฉายรับแสงอัลตราไวโอลेट ที่เวลาต่าง ๆ .....    | 92   |
| 4-14 ลักษณะของเชื้อ <i>E. coli</i> บนกระจุกไม่เคลือบและเคลือบฟิล์มบาง<br>ไทเทนเนียม ไดออกไซด์เมื่อฉายรับแสงอัลตราไวโอลेट ที่เวลาต่าง ๆ .....            | 93   |
| 4-15 อัตราการรอดตายของเชื้อ <i>E. coli</i> บนกระจุกไม่เคลือบและเคลือบฟิล์มบาง<br>ไทเทนเนียม ไดออกไซด์เมื่อไม่ฉายรับแสงอัลตราไวโอลेट ที่เวลาต่าง ๆ ..... | 95   |
| 4-16 ลักษณะของเชื้อ <i>E. coli</i> บนกระจุกไม่เคลือบและเคลือบฟิล์มบาง<br>ไทเทนเนียม ไดออกไซด์เมื่อไม่ฉายรับแสงอัลตราไวโอลेट ที่เวลาต่าง ๆ .....         | 96   |
| 4-17 อัตราการรอดตายของเชื้อ <i>E. coli</i> บนกระจุกไม่เคลือบและเคลือบฟิล์มบาง<br>ไทเทนเนียม ไดออกไซด์เมื่อฉายรับแสงอัลตราไวโอลेट ที่เวลาต่าง ๆ .....    | 98   |
| 4-18 ลักษณะของเชื้อ <i>E. coli</i> บนกระจุกไม่เคลือบและเคลือบฟิล์มบาง<br>ไทเทนเนียม ไดออกไซด์เมื่อฉายรับแสงอัลตราไวโอลेट ที่เวลาต่าง ๆ .....            | 99   |
| ก-1 หน่วยเซลล์แบบต่าง ๆ .....   | 115  |
| ก-2 ค่าคงที่แลดทิชของหน่วยเซลล์ .....   | 115  |
| ก-3 หน่วยเซลล์ 14 แบบในแลดทิชบรรยาย .....   | 117  |
| ก-4 แบบจำลองการเรียงตัวของอะตอม .....   | 119  |
| ก-5 รูปแบบการเลี้ยวเบนของรังสีเอกซ์ของฟิล์มบาง ไทเทนเนียม ไดออกไซด์ .....   | 120  |
| ก-6 Effect of crystallite size on diffraction curves (Schematic) .....  | 122  |
| ก-7 การหาความกว้างครึ่งหนึ่งของพีกที่มีค่าความเข้มสูงสุด .....  | 123  |